

---

B e i t r ä g e  
zur  
**Oryktognosie Baden's,**  
von

**Herrn MAX. BRAUN,**  
Berg- und Hütten-Praktikant zu *Carlsruhe*.

---

Hiezu Tafel VI.

---

I. Berechnung einer Kalkspath-Kombination von *St. Blasien*.

Fig. 1.

Vor etwa 6 Jahren brachen in einer Druse des *Neu-Glücker Ganges* bei *St. Blasien* ausgezeichnete Krystalle von Kalkspath ein, von denen ich das Glück hatte, eines der schönsten Exemplare zu erhalten.

Die Gangarten des *Neu-Glücker Ganges* sind nach ihrer Altersfolge: Quarz, der sehr innig mit dem Nebengestein verwachsen ist, aber auch sehr oft fehlt; — Flussspath, der die vorherrschende Gangausfüllung bildet und in welchem der Bleiglanz eingesprengt ist; — und über diesem wieder Quarz, der oft in kleinen Drusen krystallisiert erscheint, so wie auch der Flussspath. Oft bildet der Quarz in Krystalschalen einen Überzug über die Flussspathhexaeder.

Schwerspath sowohl als Kalkspath kommen nur da und dort im Gang vor, sind aber dann immer die jüngsten Gangarten, und der Kalkspath sitzt manchmal noch auf dem Baryt.

Der Kalkspat ist zweierlei; die Hauptmasse ist immer ein unreiner brauner, theils krystallinisch angehäufter, theils krystallisirter, auf welchem ganz wasserhelle kleinere und grössere Krystalle aufgewachsen sind, gleichsam als wenn sich reine kohlensaure Kalkerde aus der unreinen Masse ausgeschieden hätte. Die fremde Beimischung in der Hauptmasse des Kalkes ist Eisenoxydul, welches sehr häufig schon in Eisenoxydhydrat verwandelt ist, daher die gelbe und braune Färbung, und manchmal sogar ein Überzug der Masse mit ockrigem Brauneisenstein. Die Krystalle dieses Kalkspaths sind immer rauflächige Skalenoeder, wie es scheint  $R^s$ , auf welchen dann die wasserhellen Krystalle, manchmal ziemlich regelmässig parallel der Hauptaxe der Skalenoeder, aufsitzen.

Die Krystallform des wasserhellen Kalkspaths, welcher wir unsre besondere Aufmerksamkeit schenken wollen, ist verschieden, je nachdem die Krystalle kleiner oder grösser sind. Die kleineren Krystalle von  $2'' - \frac{1}{2}''$  Länge und  $1''$  Durchmesser, zeigen meist nur die einfache Kombination  $\infty R. R.$  (nach der NAUMANN'schen Bezeichnung). Oft tritt noch die Abstumpfung der Polkanten von  $R$ , also  $-\frac{1}{2} R$  hinzu. An etwas grösseren Krystallen zeigt sich manchmal noch das negative Skalenoeder  $m' R^{n''}$  (die Flächen  $z$  an der beigegebenen Zeichnung Fig. 1) und ein positives Rhomboeder  $m R$  (die Fläche  $m$  in Fig. 1), die wir weiter unten näher bestimmen werden.

An den grössten Krystallen, welche von  $1 - 1\frac{1}{2}''$  Länge und bis zu  $3''$  Durchmesser haben, kommen noch die Flächen von zwei positiven Skalenoedern dazu ( $y$  und  $d$  Fig. 1), welche von der Form  $R^a$  und  $R^{a'}$  sind, indem sie unter sich, und das stumpfere mit  $R$ , Kombinations-Kanten bilden, die den Kanten von  $R$  parallel sind.

Die Kombination wäre also:

$\infty R. R. - \frac{1}{2} R. m R. R^a. R^{a'}. - m' R^{n''}$ , und es wäre nun noch  $m$ ,  $m'$ ,  $n$ ,  $n'$  und  $n''$  zu bestimmen. ( $\infty R = e$ ,  $R = p$  und  $-\frac{1}{2} R = g$  Fig. 1.)

Setzen wir  $m$  als bekannt voraus, so liesse sich hier-nach  $R^n$  bestimmen, denn, da die Flächen  $m$  des Rhomboeders  $mR$  Abstumpfungen der stumpfen Polkanten zwischen den Flächen  $y$  des Sk.  $R^n$  bilden, so ist  $n = \frac{4m-1}{3}$ , (nach der Gleichung A. a. §. 385 in NAUMANN'S Handbuch der reinen und angewandten Krystallographie) folglich  $R^n = R \frac{4m-1}{3}$ ;

ferner lässt sich auch das Sk.  $-m'R^n$  bestimmen, denn:

1) es bilden seine Flächen Abstumpfungen der amphipolaren Kombinations-Kanten zwischen  $\infty R$  u.  $R$  (z zwischen  $P$  und  $c$  Fig. 1) und haben zugleich gleiche Lage mit den Flächen von  $\infty R$ . — Setzen wir nun in die hierfür passende Kombinations-Gleichung I. §. 389 NAUMANN mit dem Zeichen —, nämlich in

$m''n''(m-m') - m'n'(m''-m) - mn(m''-m') = 0$ ,  
 $m = \infty$ ,  $n = 1$ ;  $m' = 1$ ,  $n' = 1$  und  $m'' = m'$ ,  $n'' = n'$ , so erhalten wir: I.  $m'n'' - m' = 2$ .

2) Die Flächen von  $R^n$  oder  $R \frac{4m-1}{3}$  bilden Abstumpfungen der Kombinations-Kanten zwischen  $-m'R^n$  und  $mR$ , (y zwischen  $z$  und  $m$  Fig. 1); es würde also  $mR$  Abstumpfungen der scharfen Polkanten von  $-m'R^n$  bilden, und daher haben wir nach B a §. 385 NAUM.

$$\text{II. } \frac{1}{4}m'(3n''-1) = m.$$

Aus diesen beiden Gleichungen finden wir nun:

$$\text{aus I. } m' = \frac{2}{n''-1}; \text{ aus II. } m' = \frac{4m}{3n''-1}$$

$$\text{also } \frac{2}{n''-1} = \frac{4m}{3n''-1}$$

$$\text{und folglich } n'' = \frac{2m-1}{2m-3}$$

$$\text{und } m' = 2m-3$$

der Skalenoeder  $-m'R^n$  ist also  $= -(2m-3)R \frac{2m-1}{2m-3}$ .

Es bliebe nun noch  $m$  und  $n'$  durch Winkelmessung zu bestimmen. Diese nahm ich mit einem WOLLASTON'schen Reflexionsgoniometer vor, welcher dem hiesigen phyaikalischen

Kabinet gehört und mir von Herrn Hofrath Dr. SEEGER gütig anvertraut wurde. Das Instrument ist nicht sehr bequem und zweckmässig, indem die Eintheilung der Scheibe auf ihrer hintern vertikalen Seite angebracht, und der Durchmesser der Scheibe nur  $5'' 3'''$  bad. M. ist.

Ich fand nun zuerst den Winkel der Kombinations-Kante von  $mR$  zu  $\infty R = 165^\circ 45'$ , es beträgt demnach der Winkel von  $mR$  gegen die Basis (oder eine beliebige Horizontalebene)  $165^\circ 45' - 90^\circ = 75^\circ 45'$ , und für  $m$  der Werth:

$$m = \frac{\sqrt{\frac{3}{4}} \operatorname{tngt.} 75^\circ 45'}{\sqrt{0,73}} = 9,93$$

es ist daher ohne Zweifel  $m = 4$ , denn dann wäre der Winkel von  $mR$  zu  $\infty R = 75^\circ 46' 50''$ , und der Beobachtungsfehler nur  $1' 50''$ , was bei diesem Instrumente unvermeidlich ist.

Aus  $m = 4$  ergibt sich  $mR = 4R$ , ferner  $n = 5$ ,  $m' = 5$ ,  $n'' = \frac{7}{5}$ , und es wäre also:

$$R^n = R^5$$
$$-m' R^{n''} = -5 R^{\frac{7}{5}}$$

Wir hätten nun eine zweite Winkelmessung zur Bestimmung von  $n'$  zu veranstalten. Ich fand den Winkel der scharfen Polkante von  $R^{n'}$  ( $d$  gegen  $d$ ), welcher an einigen Krystallen am leichtesten zu messen war, weil die dazwischen liegende Fläche  $c$  von  $\infty R$  nur sehr schmal war,  $= 117^\circ 30'$ , welches das Mittel aus 4 nur um einzelne Minuten oder noch weniger von einander abweichenden Beobachtungen war. Hieraus berechnete ich mittelst selbst hergeleiteter Formel zuerst den Winkel der scharfen Polkante gegen die Horizontalebene, und dann durch die Kotangente auch  $n'$ , welches ich  $= 25$  fand.  $n' = 25$  in NAUMANNS Formel

$$\cos. X = -\frac{m^2 a^2 (3n^2 - 6n - 1) + 6}{2m^2 a^2 (3n^2 + 1) + 6} \quad (\S. 340)$$

substituiert und für  $m = 1$ ,  $a = \sqrt{0,73}$  eingesezt, ergibt sich  $X = 117^\circ 30' 16''$ ; der Beobachtungsfehler beträgt

demnach nur 16'', was sich ohnedies nicht mehr beobachten lässt.

Zur Bestätigung meines Coefficienten  $n' = 25$  beobachtete ich auch noch den Winkel der stumpfen Polkante von  $d$  zu  $d$ , welcher sich zu  $122^\circ 56'$  ergab, während sich aus der Berechnung nach NAUMANNS Formel für Cos. Y §. 340.

$$\text{Cos. Y} = -\frac{m^2 a^2 (3n^2 + 6n - 1) + 6}{2m^2 a^2 (3n^2 + 1) + 6},$$

derselbe Winkel Y zu  $123^\circ 9'$  findet, was einen Beobachtungsfehler von  $13'$  nachweist, der jedoch kaum zu vermeiden war, indem die eine Krystallfläche  $d$  nicht vollkommen rein war, und eine breite Fläche von  $\infty R$  zwischen den beiden Flächen lag.

Sonach wäre die Kombination vollständig bestimmt und ihr Zeichen ist:

$$\infty R. R. -\frac{1}{2}R. 4R. R^6. R^{25}. -5R^7.$$

Ausser diesen Gestalten zeigt sich noch eine starke Streifung der Flächen von  $-\frac{1}{2}R$ , und manchmal sogar zwischen  $R$  und  $-\frac{1}{2}R$  Skalenoeder-Flächen, welche die Kombinations-Kanten dieser beiden Gestalten kaum bemerkbar abstumpfen und vermutlich dem positiven Skalenoeder  $\frac{2}{3}R^2$  angehören, dessen Flächen an den Kalkspathkrystallen des Münster-Thals häufig auftreten. \*)

*Anmerkung.* Es ist mir bis jetzt kein so steiles Skalenoeder als  $R^{25}$  bekannt gewesen, doch sind mir manche Arbeiten über Kalkspath-Krystallisationen noch nicht zu Gesicht gekommen. Jedenfalls aber dürfte diese ausgezeichnete schöne, gewiss seltene Kombination besonders als vaterländisches Vorkommen unsern Mineralogen interessant seyn.

*2te Anmerkung.* Das Rhomboeder  $4R$  stumpft an einigen Krystallen die stumpfen Polkanten des Skalenoeders

\*) Diese Kalkspathkrystalle von der Grube Teufelsgrund im Münsterthal haben die Combinationen  $\infty R. R. -\frac{1}{2}R. R^2. \frac{2}{3}R^2$ , manchmal noch  $\infty P 2$ .

$R^n$  nicht ganz rein ab, obgleich die zwar matten Flächen von  $R^n$  keine Streifung oder dergleichen zeigen, welche auf angedeutete oscillatorische Kombination mit einem niedrigeren Skalenoeder schliessen liesse. — Die Kombinations-Kante zwischen  $4R$  und  $R^n$  konvergiren nämlich in diesem Fall schwach gegen den Pol, so dass  $n = 5 - \delta$  seyn würde, wo  $\delta$  nur sehr klein seyn könnte.

---

## II. Kombination des Flussspaths von *St. Blasien*.

Von dem *Neu-Hoffnung-Gotteser* Gang besitze ich mehrere Flussspath-Kristallisationen, und zwar:

1)  $\infty O\infty$ .  $\infty O$ , welche Kombination meines Wissens noch nicht aus unserm Lande bekannt ist. Die Rhombendodekaeder-Flächen sind immer untergeordnet und bilden meist nur ganz schwache Abstumpfungen der Kanten des Hexaeders, die jedoch stark glänzen, während die Flächen des Hexaeders matt sind.

2)  $\infty O\infty$ .  $\infty O$ .  $\infty On$ , wo jedoch  $n$  nicht bestimmbar ist, denn die Flächen dieses Tetrakis-hexaeders bilden nur ganz schmale Flächen als Abstumpfungen der Kombinations-Kanten von Hexaeder und Rhombendodekaeder.

Diese beiden Kombinationen finden sich bei Kristallen von  $1\frac{1}{2}''$   $\frac{1}{4}''$  Seite, die meistens wasserhell oder schwach gelb gefärbt sind, und mit Quarzkristallen auf der Gangmasse von Quarz mit eingesprengtem Bleiglanz aufsitzen.

3) An einem weingelben Flussspath-Kristall von der Grube *Neu-Glück* von  $1''$  Hexaederseite zeigt sich auf zwei Flächen eine oscillatorische Kombination von  $\infty O\infty$  mit  $\infty On$ , so dass  $\infty On$  eine treppenförmig ansteigende tetragonale Pyramide auf der Hexaederfläche bildet.

Ich suchte mir eine taugliche Stelle zur Winkelmessung aus und fand den Winkel der Fläche von  $\infty On$  gegen die Würfelfläche, auf welcher  $\infty On$  ganz fehlt,  $= 99^\circ 30'$ ;

der Winkel gegen die Fläche des Hexaeders, auf welcher das tetragonale Eck des Tetrakis hexaeders aufgesetzt ist, beträge hiernach  $99^\circ 30' - 90^\circ = 9^\circ 30'$ ; und n wäre:

$$n = \text{Cotg. } 9^\circ 30' = 6,$$

wobei der Beobachtungsfehler 2' beträgt, denn  $\text{Ctg. } 9^\circ 28' = 6$ . Die Kombination wäre also:

$$\infty\infty \cdot \infty 06.$$

4) Endlich besitze ich noch von der Grube *Neu-Glück* eine Flussspath-Kombination, bei welcher  $\infty\infty$  vorherrschend ist und als untergeordnete Gestalten noch  $\infty On$  und  $mOn'$  hinzutreten. Der Krystall ist schön weingelb, hat nur 2" in der Seite des Würfels, und die Flächen von  $\infty On$  sind nur sehr schmal. Einer ungefähren Messung nach ist  $n = 2$ , die Flächen des Hexakis octaeders sind ebenfalls sehr klein, aber deutlich zu sehen ist, dass  $\infty On$  die mittlern Kanten von  $mOn'$  abstumpft,  $n'$  wäre demnach  $= n = 2$ , und das Hexakis octaeder höchst wahrscheinlich das im *Münster-Thal* häufig am Flussspath vorkommende 402. Die Kombination demnach  $\infty\infty \cdot \infty 02. 402$ , und hiezu kommen noch undeutliche Flächen eines viel flacheren  $\infty On$ ; zugleich zeigt der Krystall eine ziemlich regelmässige Verwachsung mit einem grösseren, woran die Flächen von 402 ebenfalls sichtbar sind.

---

### III. Flussspath-Kombination von *Badenweiler*, Fig. 2.

Kleine, sehr blassbläuliche Flussspath-Krystalle (kaum 2" in der Würfelseite) auf Quarz aufsitzend, von dem berühmten *Haus-Badener* Erzlager, die ich erst kürzlich bekam, zeigen eine höchst interessante Kombination. Vorherrschend ist  $\infty\infty$ , diesem untergeordnet  $\infty On$ ,  $mOm$ ,  $\infty On'$  und  $\infty O$ . Die Flächen des Rhombendodekaeders (r Fig. 2) treten nicht an allen Hexaederkanten auf, aber dennoch zeigt sich, dass die Flächen von  $mOm$  (b Fig. 2) seine

Kanten abtumpfen; folglich dem Icositetraeder 202 angehören, ferner stumpfen die Flächen von  $\infty O_n$  (t Fig. 2) die mittleren Kanten von 202 ab (t zwischen b und b), und n wäre demnach auch = 2; der Tetrakis hexaeder  $\infty O_n = \infty O_2$ , n' lässt sich nicht sicher bestimmen, da die Flächen von  $\infty O_n$  matt sind; jedenfalls aber ist es grösser als n, denn es stumpft die Kombinations-Kanten zwischen  $\infty O\infty$  und  $\infty O_n$  ab. Es ist also grösser als 2, und zwar wahrscheinlich = 3, denn es scheint, dass seine Kombinations-Kanten mit 202 (t' zu b) den kurzen Kanten dieses Icositetraeders parallel sind;  $\infty O_n$  wäre also  $\infty O_3$  (?) und die entwickelte Kombination:

$\infty O\infty$ .  $\infty O_2$ . 202.  $\infty O_3$ (?).  $\infty O$ .

*Anmerkung.* An einem Hexaeder-Eck kommen noch ganz kleine Flächen von einem Hexakis octaeder  $m' O_n$  hinzu, die ich an dem einen Eck der Zeichnung ebenfalls angedeutet habe (die Flächen c), und welche die Kombinations-Kanten zwischen  $\infty O$  und 202 abtumpfen (c zwischen b und r), daher höchst wahrscheinlich dem Hexakis octaeder 30.5% angehören.

*Die Anmerk.* Das Hexaeder ist verhältnissmässig mehr vorherrschend als in der Zeichnung, was jedoch wegen der Deutlichkeit derselben modifizirt wurde.

Fig. 1.

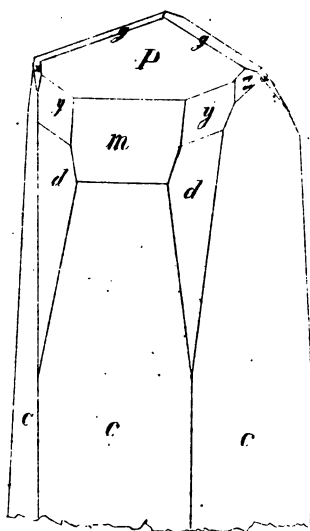


Fig. 2.

